

5-coloração distância-2 em fulerenes de cintura 5 *

Wanderson Lomenha¹, Diego Nicodemos^{2,3}, João Pedro de Souza^{1,2}

¹Programa de Engenharia de Sistemas e Computação
Instituto Alberto Luiz Coimbra de Pós-Graduação e Pesquisa em Engenharia
Universidade Federal do Rio de Janeiro, Brasil

²Departamento de Matemática
Colégio Pedro II, Brasil

³Programa de Pós-Graduação em Ciências Computacionais
Instituto de Matemática e Estatística
Universidade do Estado do Rio de Janeiro

{wlomenha, jpsouza}@cos.ufrj.br, diegonicodemos@cp2.g12.br

Abstract. Fullerene graphs are cubic, planar, 3-connected with girth of size 5. A coloring $c: V(G) \rightarrow \{1, \dots, k\}$ is a distance-2 coloring if $c(u) \neq c(v)$ for all $u, v \in V(G)$ such that $\text{dist}(u, v) \leq 2$, where $\text{dist}(u, v)$ denotes the usual distance between u and v . We define $\chi_2(G)$ to be the smallest value of k for which there exists a distance-2 coloring. In this work, we prove that $\chi_2(G) = 5$ for a subclass of fullerene graphs.

Resumo. Grafos fulerenes são grafos cúbicos, planares, 3-conexos com cintura de tamanho 5. Uma coloração $c: V(G) \rightarrow \{1, \dots, k\}$ é uma coloração distância-2 se $c(u) \neq c(v)$ para todo $u, v \in V(G)$ tal que $\text{dist}(u, v) \leq 2$, onde $\text{dist}(u, v)$ denota a distância usual entre u e v . Definimos $\chi_2(G)$ como sendo o menor valor k para o qual existe uma coloração distância-2. Neste trabalho, provamos que $\chi_2(G) = 5$ para uma subclasse de grafos fulerenes.

1. Introdução

Os grafos *fulerenes* são grafos cúbicos, planares e 3-conexos, contendo faces de tamanhos 5 e 6, chamadas de faces pentagonais e hexagonais, respectivamente. Por meio da Relação de Euler, pode-se concluir que todos os grafos fulerenes possuem exatamente 12 faces pentagonais e um número arbitrário, diferente de 1, de faces hexagonais. Os grafos *fulerenes com simetria icosaedral*, denotados por $G_{i,j}$, com $0 \leq i \leq j$ e $j \neq 0$, foram introduzidos por Andova e Škrekovski [Andova and Škrekovski 2013] em 2013.

Definição alternativa Definimos T_i como sendo a imersão de um triângulo de lado i e seus i_2 triângulos interiores em uma grade triangular. Definiremos $G_{0,j}$ com base em seu dual $G_{0,j}^*$. Teremos que $G_{0,1}^*$ é o icosaedro. Considere a subdivisão de cada triângulo em $G_{0,1}$ em i arestas. Para cada K_{3j} adicionaremos uma cópia de T_{j-2} e formaremos um T_j . Esse grafo será $G_{0,j}^*$. Observe que cada vértice de grau 5 em $G_{0,j}^*$ está a uma distância j de exatamente outros 5 vértices de grau 5. Note que há apenas um caminho entre duas faces pentagonais em $G_{0,j}$. Para mais informações sobre grafos

*O presente trabalho foi realizado com apoio do Conselho Nacional de Desenvolvimento Científico e Tecnológico – Brasil – CNPq. W. Lomenha é parcialmente financiado pelo CNPq (140654/2021-6).

15 fulerenes, recomendamos ao leitor [Nicodemos 2017], [Nicodemos and Stehlík 2016] e
16 [Andova et al. 2012].

17 Dado um grafo G , dizemos que a coloração $c: V(G) \rightarrow \{1, \dots, k\}$ é uma
18 *coloração distância-2* se $c(u) \neq c(v)$ para todo $u, v \in V(G)$ tal que $dist(u, v) \leq 2$,
19 onde $dist(u, v)$ denota a distância usual entre u e v , ou seja, o caminho de menor com-
20 primento que conecta u e v em G . Em outras palavras, c é uma coloração distância-2 se
21 $c(u) \neq c(v)$ sempre que $uv \in E(G)$ ou u e v possuem um vizinho em comum. O *número*
22 *cromático distância-2* de G , denotado por $\chi_2(G)$, é definido como o menor inteiro k no
23 qual G admite uma k -coloração distância-2. Em 1977, Wegner [Wegner 1977] provou
24 que se G é cúbico e planar, então $\chi_2(G) \leq 8$ e conjecturou que $\chi_2(G) \leq 7$ para todo
25 G cúbico e planar; em 2016, Hartke et al. [Hartke et al. 2016] provaram a conjectura de
26 Wegner e conjecturaram que se G é um grafo cúbico, planar e 3-conexo ou que não pos-
27 sui face pentagonal, então $\chi_2(G) \leq 6$; em 2021, Feder et al. [Feder et al. 2021] provaram
28 uma versão mais fraca da conjectura de Hartke et al. que $\chi_2(G) \leq 6$ para todo grafo
29 cúbico, planar e bipartido. Neste artigo, abordamos especificamente os grafos fulerenes
30 com simetria icosaedral $G_{0,j}$, com $j \geq 0$. Demonstramos que $\chi_2(G_{0,2j+1}) = 5$, para todo
31 $j \geq 0$.

32 2. Coloração distância-2 de fulerenes com simetria icosaedral $G_{0,2j+1}$

33 Dado um grafo $G_{0,j}$ com $j \geq 0$, e c uma coloração distância-2, temos $c(u) \neq c(v)$ para
34 todo $u, v \in V(G_{0,j})$ no qual $dist(u, v) \leq 2$. Isso implica que $\chi_2(G_{0,j}) \geq 5$, pois $C_5 \subset$
35 G . Nesta seção vamos provar que esse limitante é justo para todo $G_{0,2j+1}$ com $j \geq 0$.
36 Para isso, apresentamos uma 5-coloração distância-2 do grafo $G_{0,1}$, o dodecaedro (veja a
37 Figura 1). Essa coloração será utilizada para colorir recursivamente os próximos membros
38 da família $G_{0,2j+1}$ com $j \geq 0$.

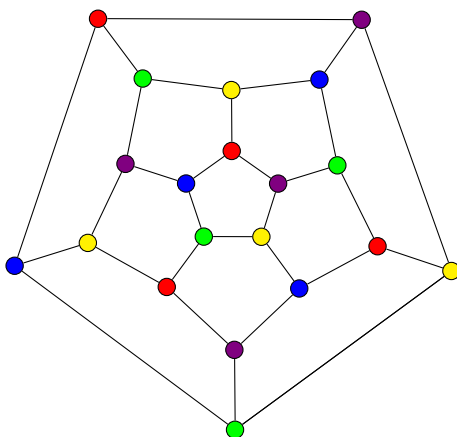


Figure 1. 5-coloração distância-2 do fullerene $G_{0,1}$.

39 No que segue, mostramos o resultado principal dessa seção. Para isso, primeiro
40 caracterizamos as faces hexagonais nos grafos $G_{0,j}$. Uma face hexagonal é dita *radial*, se
41 está contida no caminho que dista j unidades entre as faces pentagonais, caso contrário,
42 a chamamos de face hexagonal *não radial*.

44 **Teorema 1.** Se G é o grafo fullerene com simetria icosaedral $G_{0,2j+1}$ com $j \geq 0$, então
 45 $\chi_2(G_{0,2j+1}) = 5$.

46 *Proof.* A prova segue por indução. Inicialmente, suponha que $j = 0$. Neste caso, a 5-
 47 coloração de $G_{0,1}$ segue dada pela Figura 1. Quando $j > 0$, a identificação da coloração
 48 entre $G_{0,2j-1}$ e $G_{0,2j+1}$ segue da seguinte forma: Seja $C = u_1u_2 \cdots u_5u_1$ (resp. $C' =$
 49 $v_1v_2 \cdots v_5v_1$) o pentágono central de $G_{0,2j-1}$ (resp. $G_{0,2j+1}$). Colorimos os vértices de
 50 C' da seguinte forma, $c(v_i) = c(u_i)$ para todo $i \in [5]$. Seja $e = u_1u_2$ (resp. $e' = v_1v_2$),
 51 note que pela definição de $G_{0,2j-1}$ (resp. $G_{0,2j+1}$) existe um pentágono que dista $2j - 1$
 52 (resp. $2j + 1$) unidades partindo na direção de e (resp. e'), denote por P (resp. P') essa
 53 face pentagonal. Colorimos os vértices de P' da mesma forma que estão coloridos os
 54 vértices de P . Analogamente, podemos repetir esse processo para todos os pentágonos
 55 de $G_{0,2j+1}$. Além disso, iremos reproduzir a coloração dos hexágonos que distam até j
 56 unidades ao redor de cada pentágono (Figura 2 exibe uma 5-coloração distância-2 parcial
 57 do $G_{0,5}$ obtida da 5-coloração distância-2 do $G_{0,3}$ replicando a coloração dos pentágonos
 58 correspondentes e dos hexágonos que distam 1 unidade dos pentágonos).

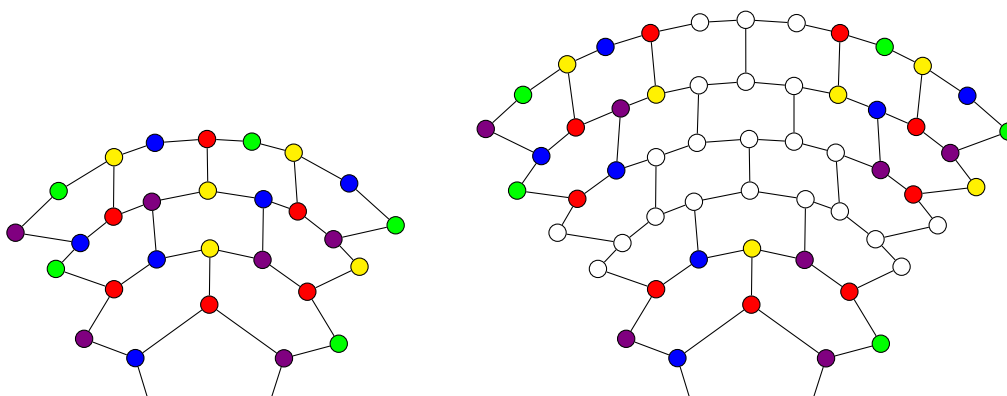


Figure 2. 5-coloração distância-2 parcial do $G_{0,5}$.

59 Observe que, ao identificarmos a coloração da vizinhança de distância j de $G_{0,2j-1}$
 60 em $G_{0,2j+1}$, teremos sempre pelo menos duas faces hexagonais que não estão completa-
 61 mente coloridas no menor caminho entre duas faces pentagonais. Isso ocorre porque, ao
 62 colorirmos j faces hexagonais adjacentes às faces pentagonais, no menor caminho entre
 63 duas faces pentagonais, teremos $2j$ faces hexagonais coloridas. Dessa forma, restam ape-
 64 nas duas faces hexagonais não totalmente coloridas nesses caminhos. Portanto, a distância
 65 entre quaisquer dois vértices coloridos que estão na vizinhança de pentágonos diferentes
 66 será pelo menos 4, o que mantém a coloração distância-2.

67 Seja F a face pentagonal central e F' uma face pentagonal que dista j unidades
 68 de F e seja $e_F = u_1u_2$ e $e_{F'} = v_1v_2$. Note que, pela pré coloração de G_{2i-1} , temos que
 69 $c(u_1) = c(v_1)$ e $c(u_2) = c(v_2)$. Seja Q (resp. Q') o caminho de menor comprimento
 70 entre u_1 e v_1 (resp. u_2 e v_2). Temos que $|Q| = |Q'| = 4j$ possuem comprimento par.
 71 Os extremos de Q e Q' já estão coloridos, pois fazem parte dos vértices dos pentágonos
 72 e os vértices à distância j de $u_1, v_1 \in Q$ e $u_2, v_2 \in Q'$ também estarão coloridos pela pré
 73 coloração. Colorimos alguns vértices não coloridos de Q e Q' alternadamente pulando
 74 sempre um vértice no caminho utilizando as cores dos extremos utilizados em e_F (veja a

75 Figura 3). Dessa forma, todo hexágono radial contém dois vértices ainda não coloridos,
76 tais vértices serão coloridos na coloração dos hexágonos não radiais.

77 Seja H uma face hexagonal não radial, para todo $u, v \in H$ se $dist(u, v)$ é ímpar,
78 então $c(u) = c(v)$. Note que, toda face hexagonal não radial, será colorida com 3 cores.
79 Ao final desse processo, todos os vértices não coloridos nas faces hexagonais radiais serão
80 coloridos. \square

81 A Figura 3 exibe uma 5-coloração distância-2 do $G_{0,2j+1}$ obtida através da
82 coloração do $G_{0,2j-1}$ e do método descrito no Teorema 1. O vértice circulado por uma
83 linha tracejada em preto, são os vértices coloridos através do caminho de menor compri-
84 mento entre duas faces pentagonais e os circulos em preto, são os vértices coloridos
85 através da coloração das faces hexagonais não radiais.

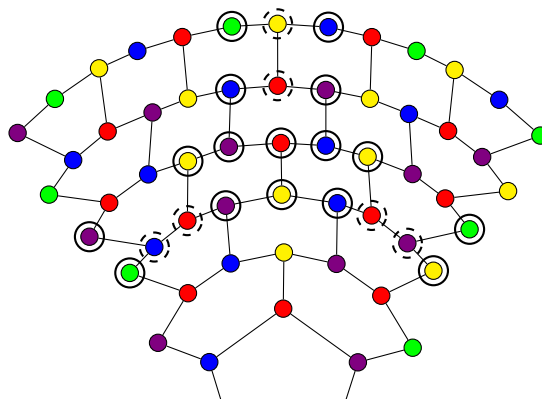


Figure 3. 5-coloração distância-2 do $G_{0,2j+1}$.

86 3. Conclusão e Trabalhos Futuros

87 Nesse artigo nós verificamos a conjectura de Hartke [Hartke et al. 2016] para a subfamília
88 de fulerenes com simetria icosaedral $G_{0,2j+1}$ com $j \geq 0$. Em próximos trabalhos, pre-
89 tendemos explorar a técnica apresentada no Teorema 1 para a subfamília de fulerenes com
90 simetria icosaedral $G_{0,2j}$ com $j \geq 1$ e na subfamília $G_{j,j}$, com $j \geq 1$. Esperamos que tais
91 resultados possam ser estendidos para outros tipos de fulerenes, como os nanotubos, os
92 nanodiscos e os fulleróides.

93 References

- 94 Andova, V., Došlic, T., Krnc, M., Lužar, B., and Škrekovski, R. (2012). On the diameter
95 and some related invariants of fullerene graphs. *Match-Communications in Mathematical and Computer Chemistry*, 68(1):109.
- 97 Andova, V. and Škrekovski, R. (2013). Diameter of fullerene graphs with full icosahedral
98 symmetry. *MATCH Commun. Math. Comput. Chem.*, 70(1):205–220.
- 99 Feder, T., Hell, P., and Subi, C. (2021). Distance-two colourings of barnette graphs.
100 *European Journal of Combinatorics*, 91:103210.
- 101 Hartke, S. G., Jahanbekam, S., and Thomas, B. (2016). The chromatic number of the
102 square of subcubic planar graphs. *arXiv preprint arXiv:1604.06504*.

- 103 Nicodemos, D. and Stehlík, M. (2016). Fullerene graphs of small diameter. *arXiv preprint*
104 *arXiv:1604.01934*.
- 105 Nicodemos, D. d. S. (2017). Diâmetro de grafos fulerenes e transversalidade de ciclos
106 ímpares de fuleróides-(3, 4, 5, 6).
- 107 Wegner, G. (1977). Graphs with given diameter and a coloring problem.